

## الگوریتم کنترل درخواست ورود شبکه‌های ATM با استفاده از یک اتوماتان DFLA: تعمیم و تعیین پارامتر

محمد رضا میدی

meybodi@ce.aku.ac.ir

حمید رضا شهریاری

shahriari@mehr.sharif.edu

دانشکده مهندسی کامپیوتر

دانشگاه صنعتی امیرکبیر

### چکیده

یکی از روش‌های مهم کنترل تراکم در شبکه‌های ATM، کنترل درخواست ورود است، که سعی در جلوگیری از بروز تراکم در شبکه با استفاده از قبول با رد درخواست‌های اتصال می‌کند. روش‌های متعدد تحلیلی از جمله روش پهنه‌ای باند معادل و روش تقریب ترافیک سنگین و یا تخمین حد بالای اتلاف سلول ارائه شده‌اند. در این مقاله یک الگوریتم کنترل درخواست ورود با استفاده از یک اتوماتان جدید ارائه شده است. در این روش اتوماتان یادگیری دو عمل منتظر با پذیرش یا رد درخواست دارد. در روش ارائه شده، برای پاسخ محیط از روش پهنه‌ای باند معادل استفاده شده است. با توجه به اینکه خطای تخمین روش پهنه‌ای باند معادل در شرایط مختلف متفاوت است و نیز به علت غیر ایستا بودن محیط، در شرایط مختلف مقدار بهینه پارامترهای اتوماتان متفاوت خواهد بود. در این مقاله پارامترهای اتوماتان در شرایط مختلف تعیین می‌شود. در انتها با استفاده از شبیه‌سازی محیط شبکه ATM، الگوریتم مورد نظر با سه روش دیگر از لحاظ بهره‌وری خط و میزان اتلاف سلول و تعداد درخواست‌های پذیرفته شده مقایسه می‌شود.

کلمات کلیدی: شبکه‌های ATM، کنترل تراکم، کنترل درخواست ورود، اتوماتان یادگیری، اتوماتان DFLA

### ۱ مقدمه

(CAC) در مورد پذیرش یا رد درخواست‌های برقراری اتصال تصمیم‌گیری می‌نماید. با توجه به اینکه یکی از اهداف مهم در شبکه‌ها استفاده بهینه از منابع موجود است، باید به نحوی در مورد در این باره تصمیم‌گیری شود که ضمن حفظ معیارهای کیفیت، از منابع شبکه هم به طور بهینه استفاده شود.

CAC با این سوال در رویه‌رو است که آیا سوییج می‌تواند یک اتصال جدید را نبول کند یا خیر. به علت وجود مشکلاتی نظیر مشکل تعیین و توصیف فرآیند ترافیک ورودی از کاربر و لزوم پاسخ و تصمیم‌گیری سریع در ورود پذیرش یا عدم پذیرش ارتباط، پیاده سازی CAC بر مبنای تخصیص آماری دشوار است.<sup>[۲]</sup>

البته روش‌های متعددی ارائه شده است که در آنها با اتخاذ تقریبهای لازم و بدون حل دقیق معادلات فوق از پیچیدگی مسأله کاسته شده است. از جمله روش‌هایی که سعی در تقریب یکی از

تکنولوژی ATM به عنوان مکانیزم "انتقال" برای B-ISDN معرفی شد<sup>[۱]</sup>. یکی از مباحث مهم در شبکه‌های ATM کنترل تراکم است. روش‌های کنترل تراکم را می‌توان به دو دسته بازدارنده و انفعالی تقسیم نمود. در روش‌های بازدارنده از بروز تراکم جلوگیری می‌شود، در حالی که در روش‌های انفعالی از اطلاعات پس‌خور شبکه برای کنترل میزان تراکم استفاده می‌شود. روش‌های کنترل تراکم بازدارنده شامل دو روال زیر هستند: کنترل درخواست ورود<sup>۱</sup> و مدیریت پهنه‌ای باند<sup>۲</sup>. از آنجا که ATM یک سرویس مبتنی بر اتصال است، قبل از آنکه کاربر شروع به انتقال داده روی شبکه ATM کند، باید یک اتصال ایجاد شود. با توجه به سرعت بالای شبکه‌های ATM ترجیح داده می‌شود که از روش‌های بازدارنده استفاده شود تا اینکه احازه داده شود تا تراکم اتفاق بیفتد، سپس به دنبال راه حل بود. روال کنترل درخواست ورود

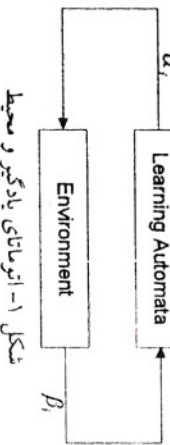
<sup>1</sup> CAC (Call Admission Control)

<sup>2</sup> Bandwidth enforcement



پارامترهای سیستم می‌گشته، می‌توان به روش پهنه‌ای باند محدود<sup>۱</sup>

استفاده از مدل کردن منبع ترافیکی به یک توزیع شناخته شده و تبدیل مساله به یک مساله صفت، سعی در تقویت یک پارامتر



شکل ۱- اتوماتای پادگیر و محیط

در شرایط خواهد داشت. از جمله پیوودهایی که نسبت به روش ارائه شده در [۱] داده شده است، نسخه پاسخگویی محیط به اتوماتان است. در روش جدید از روش کارایی پهلوی باند محدود اتوماتان پارامترهای اتوماتان از این روش عميق است. پارامترهای اتوماتان شده در [۹] در شرایط مختلف، مقادیر پیوی پاسخ محیط استفاده شده است. پرسیلهای انجام شده نشان داد که الگوریتم ارائه شده در [۹] در این مقادیر مختلفی برای پارامتر عمق اتوماتان نیاز دارد. در این مقادیر پارامترهای اتوماتان از این روش عميق است. پارامترهای اتوماتان ارائه شده در [۹] تعیین شده و الگوریسم جامعی برای کنترل در شرایط دروازه می‌شود. در انتها مقاله الگوریتم ارائه شده با روشهای دیگر از جمله یک روش مبتنی بر شبکه‌های عصبی، یک روش مبتنی بر اتوماتان SELA و روش کارایی پهلوی باند محدود مقایسه شوهدند.

## ۲ اتوماتان پادگیر

اتوماتان پادگیر یک اتوماتان است که در یک محیط تصوفی عمل می‌کند و احتمالهایی هر یک از اعمال را بر حسب دردی بهار که از محیط دریافت می‌کند، پنهان کنم. روش عملکرد پک اتوماتان پادگیر به این صورت است که یک عمل از مجموعه سیستم اعمال انتخاب کرده و عمل انتخاب شده را به یک محیط تصوفی اعمال می‌کند. در مثاباً محیط با یک سینگل پس‌شمار پاسخ این روش ای باخی پاسخ پاصلت می‌شود که وضعیت داخلی اتوماتان برای عمل بعد هنگام شروع این اتوماتانی پادگیر به دو گروه ساختار ثابت و متغیر دسته‌بندی می‌شوند. شکل ۱ نسخه ارتباط یک اتوماتان پادگیر با محیط نشان می‌دهد.

## ۳ اتوماتان پادگیر

اتوماتان پادگیر یک اتوماتان است که در یک محیط تصوفی عمل می‌کند و احتمالهایی هر یک از اعمال را بر حسب دردی بهار که از محیط دریافت می‌کند، پنهان کنم. روش عملکرد پک اتوماتان پادگیر به این صورت است که یک عمل از مجموعه سیستم اعمال انتخاب کرده و عمل انتخاب شده را به یک محیط تصوفی اعمال می‌کند. در مثاباً محیط با یک سینگل پس‌شمار پاسخ این روش ای باخی پاسخ پاصلت می‌شود که وضعیت داخلی اتوماتان برای عمل بعد هنگام شروع این اتوماتانی پادگیر به دو گروه ساختار ثابت و متغیر دسته‌بندی می‌شوند. شکل ۱ نسخه ارتباط یک اتوماتان پادگیر با محیط نشان می‌دهد.

در شرایط پیویستی پادگیری ارائه شده است. از جمله در شرایط دروخواست درود با قابلیت پادگیری اتوماتان پادگیر و پارامترهای پهلوی مجموعه عملهای دردی  $\{\alpha, \beta, \gamma, \delta, \epsilon, \zeta, \eta, \theta, \varphi, \psi, \rho, \sigma, \tau\}$  مجموعه حلتهای دالسلی،  $\Omega$  مجموعه شرودجهای  $P$  بزرگ است. در این روش از یک اتوماتان پادگیر تعمیم داده شده است. در این روش با استفاده از شیوه عصبی [۵]، پارامترهای تغییری از این روش ای باخی است. در این روش ای باخی این روش ای باخی آنرا پارامترهای شرودجهای (SELAs) <sup>۲</sup> استفاده شده است. برای استفاده در کنترل در شرایط دروخواست درود دو عمل  $\{H_1, H_2, H_3, H_4, H_5, H_6, H_7, H_8, H_9, H_{10}\}$  برای این روش ای باخی استفاده شده است که  $H_5$  نشان دهنده در در شرایط این اتوماتان با هر درخواست جدید یکی از اعمال  $H$  را انتخاب کرده و سپس با استفاده از تعمیم پهلوی باند معادل پاسخ محیط را بدست آورده و بسیار احتمالهای متناظر با اعمال  $H$  را بهگام می‌کند. در [۱] از اتوماتان پادگیر برای کنترل در شرایط دروخواست درود استفاده شده. در این روش اتوماتان طرفیت معادل هر اعمال را تعمیم زده و سپس با استفاده از این تعمیم در راه پدربرش یادگیری شده در پیش این روش ای باخی از جمله محدودهایی این روش آن است که فرض شده است تعمیم در راه پدربرش در این روش ای باخی تعمیم گری شد.

## ۴ اتوماتان پادگیر

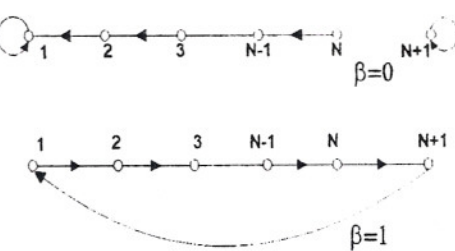
از اتوماتان پادگیر در کاربردهای بسیاری از جمله در مسیریابی بسته‌های داده‌ای در شبکه‌های داده‌ای [۱۰]، کنترل جریان در شبکه،

[۱۱] و کنترل ترافیک با شکل دادن ترافیک شبكه [۱۵] و کنترل صفت [۱۶]، محدودی شبکه‌ای عصبی [۱۷] [۱۸] [۱۹] و تأثیر گرفتار

## ۵ Equivalent Capacity

## ۶ Heavy Traffic Approximation

## ۷ Stochastic Estimator Learning Algorithm



شکل ۲- گراف تغییر حالت اتوماتان ارائه شده.

هر چه زودتر اتوماتان عمل  $\text{Accept}$  را انتخاب کند. برای همین متوجه یک اتوماتان جدیدی معرفی می‌شود که در آن عمق عمل  $\text{Reject}$  یک بوده ولی عمق عمل  $\text{Accept}$  بزرگتر از یک است. اتوماتان جدید،  $N+1$  حالت  $\phi_{N+1}, \phi_1, \phi_2, \dots, \phi_{N+1}$  و دو عمل  $\alpha_1$  و  $\alpha_2$  دارد. حالت‌های  $\phi_N, \dots, \phi_1$  مربوط به عمل  $\alpha_1$  می‌شوند و حالت  $\phi_{N+1}$  مربوط به عمل  $\alpha_2$  می‌شوند. بنابراین

$$G[\phi_i] = \begin{cases} \alpha_1 & i = 1, 2, \dots, N \\ \alpha_2 & i = N+1 \end{cases} \quad (1)$$

اگر اتوماتان در حالت  $\phi_i$  ( $1 \leq i \leq N$ ) باشد عمل  $\alpha_1$  را انتخاب می‌کند. اگر پاسخ نامطلوب دریافت کند به صورت زیر تغییر حالت می‌دهد:

$$\begin{aligned} \phi_i &\rightarrow \phi_{i+1} & (i = 1, 2, \dots, N) \\ \phi_{N+1} &\rightarrow \phi_1 \end{aligned} \quad (2)$$

به طور مشابه با دریافت پاسخ مطلوب:

$$\begin{aligned} \phi_i &\rightarrow \phi_{i-1} & (i = 2, 3, \dots, N) \\ \phi_1 &\rightarrow \phi_1 \\ \phi_{N+1} &\rightarrow \phi_{N+1} \end{aligned} \quad (3)$$

شکل ۲ اتوماتان مورد نظر را نشان می‌دهد.

#### ۴ تعیین عمق اتوماتان در شرایط مختلف

از آنجا که تخمین پهنهای باند معادل در شرایط مختلف دستهای متفاوتی دارد و نیز به علت غیر ایستا بودن محیط، در شرایط مختلف اتوماتان پارامترهای مختلفی خواهد داشت. در این بخش عمق اتوماتان را در شرایط مختلف برسی می‌کنیم.

##### ۱-۱ اتوماتان ارائه شده به ازای مقادیر مختلف بهره‌وری متابع

روش پهنهای باند معادل تخمین معقولی از پهنهای باند واقعی مورد نیاز برای تعدادی از اتصالهای مجازی فراهم می‌کند، ولی با این همه هم نتایج تحلیلی و هم شبیه‌سازی نشان می‌دهند که

[۱۹] استفاده شده است. برای مطالعه بیشتر درباره اتوماتانهای یادگیر و کاربردهای آن به [۱۱], [۱۲], [۲۰] و [۲۱] مراجعه نمایید.

#### ۳ کنترل درخواست ورود با استفاده از پاسخ

##### پهنهای باند معادل

در [۸] الگوریتمهای برای تخمین پهنهای باند معادل و استفاده از آن برای کنترل درخواست ورود برسی شدند. روش دیگر و مستقیم آن است که اتوماتان مستقیماً درباره پذیرش یا رد درخواست تصمیم‌گیری نماید. در این صورت اتوماتان دو عمل  $\{\alpha_1, \alpha_2\}$  منتظر با قبول و رد درخواست خواهد داشت. نکته مهم آن است که در محیط شبکه به طور مرتب شرایط تغییر یافته و عمل بهینه نیز تغییر می‌کند. به همین دلیل اتوماتان باید بتواند خود را سریعاً با تغییرات محیط وفق دهد.

##### ۱-۳ پاسخ محیط با استفاده از پهنهای باند معادل

اتوماتان یادگیر برای وفق دادن خود با محیط و آموزش خود نیاز به دریافت پاسخ از طرف محیط به ازای هر عمل انتخاب شده دارد. به همین دلیل انتخاب نوع پاسخ محیط نقش مهمی در کارایی اتوماتان دارد. در [۸] برای پاسخ محیط از سرخ اتلاف سلول و طول بافر استفاده شد. این پاسخ باز هم به نوبه خود اشکالاتی را دارد که از جمله می‌توان به دیر مشخص شدن پاسخ یک عمل (پذیرش یا رد) اشاره کرد. در این بخش از روش دیگری برای محاسبه پاسخ محیط به عمل اتوماتان استفاده می‌شود.

برای تعریف پاسخ دو مقداری با استفاده از روش پهنهای باند معادل، ظرفیت معادل اتصالهای قبلی و اتصال جدید ( $C_{eq}$ ) محاسبه می‌شود. اگر  $\alpha_i$  عمل انتخاب شده اتوماتان و  $C$  ظرفیت خط باشد، پاسخ دودویی یک محیط P-Model به اتوماتان به صورت زیر تعریف می‌شود:

• پاسخ مطلوب: اگر  $C_{eq} > C$  و  $\alpha_i = \text{Accept}$

• پاسخ نامطلوب: اگر  $C_{eq} < C$  و  $\alpha_i = \text{Reject}$

##### ۲-۳ ارائه یک اتوماتان جدید

در هر یک از این اتوماتانها با نامطلوب شدن یک عمل، اتوماتان به تدریج از عمق آن عمل بیرون می‌آید. در روش تخمین پهنهای باند معادل، مقدار تخمین ظرفیت معادل به خصوص در درصد پایین فعالیت متابع، کمتر از حد واقعی است [۲]. بنابراین در صورتی که با استفاده از روش پهنهای باند معادل درخواست ورود رد شد، می‌توان با توجه به شرایط محیط چند درخواست دیگر هم پذیرفت. اما اگر بر اساس روش پهنهای باند معادل، پذیرش درخواست مطلوب شد، برای بالا رفتن بهره‌وری خط بهتر است.

$$\begin{aligned} N_1(r) &= 20 \text{ if } 0 < r \leq 0.15 & (\text{دسته ۱}) \\ N_2(r) &= 10 \text{ if } 0.15 < r \leq 0.25 & (\text{دسته ۲}) \\ N_3(r) &= 7 \text{ if } 0.25 < r \leq 0.35 & (\text{دسته ۳}) \\ N_4(r) &= 5 \text{ if } 0.35 < r \leq 0.55 & (\text{دسته ۴}) \\ N_5(r) &= 2 \text{ if } 0.55 < r < 1.0 & (\text{دسته ۵}) \end{aligned}$$

در حالتی که  $n$  دسته منابع وجود داشته باشد و  $k_1, k_2, \dots, k_n$  از رابطه زیر بدست می‌آید:

$$N = \frac{k_1}{k} N_1 + \frac{k_2}{k} N_2 + \dots + \frac{k_n}{k} N_n, \quad k = \sum_{i=1}^n k_i \quad (۴)$$

بر پایه این دسته‌بندی پارامتر  $N$  هنگامی که بهره‌وری منابع کوچک باشد، عمق اتوماتان هم زیاد می‌شود و هنگامی که بهره‌وری منابع افزایش می‌یابد، عمق اتوماتان هم کم می‌شود.

اتوماتان جدید با عمق متغیر  $^1DFLA$  می‌نامیم.

با مقدمات ذکر شده و با استفاده از اتوماتان  $DFLA$  الگوریتم کنترل درخواست ورود مطابق شکل ۵ است. ابتدا سویچ یک درخواست را به همراه ویژگی‌های درخواست به الگوریتم کنترل درخواست می‌فرستد. در الگوریتم کنترل درخواست ورود ابتدا بر اساس بهره‌وری منبع ترافیکی، آن را در یکی از دسته‌ها قرار می‌دهد. سپس پارامتر عمق اتوماتان ( $N$ ) را محاسبه نموده و به اتوماتان می‌دهد. اتوماتان با توجه به مقدار جدید پارامتر عمق خود را تغییر می‌دهد. سپس اتوماتان بر اساس پاسخ عمل قبل، تغییر وضعیت داده و عمل جدیدی (پذیرش یا رد) را انتخاب می‌کند. برای گرفتن پاسخ از محیط ویژگی‌های درخواست جدید و اتصالهای فعلی به روش پنهانی باند معادل داده شده و بر اساس آن در مورد عمل اتوماتان قضاوت می‌شود.

حالت جدید اتوماتان پس از تغییر عمق هم بر اساس حالت قبلی و نیز اینکه عمق افزایش یا کاهش یافته تعیین می‌شود. در صورتی که حالت قبلی اتوماتان در وضعیت مرسوط به  $\alpha_2$  باشد. در این صورت حالت جدید اتوماتان حالت مرسوط به  $\alpha_2$  می‌شود، یعنی  $\phi(t) = N(t) + 1$ . در غیر این صورت اگر حالت قبلی اتوماتان فراتر از عمق فعلی باشد،  $\phi(t) = N(t)$  خواهد شد. در غیر از این موارد حالت جدید اتوماتان همان حالت قبلی خواهد شد.

به عبارتی دیگر:

$$\phi(t) = \begin{cases} N(t) + 1 & \text{if } \phi(t-1) = N(t-1) + 1 \\ N(t) & \text{if } \phi(t-1) \neq N(t-1) + 1 \\ & \text{and } \phi(t-1) > N(t) \\ \phi(t-1) & \text{otherwise} \end{cases} \quad (5)$$

تخمین ایستا بهتر از تخمین جریان سیال در بار کم عمل می‌کند، و تخمین جریان سیال در بار بالا بهتر عمل می‌کند. بنابراین هر دو روش مکمل یکدیگرند [۳]. به طور کلی تقریب ایستا در موقعیت که تعداد زیادی منبع با ویژگی انفجاری بالا موجود باشند، تقریب دقیقی ازانه می‌کند. از طرف دیگر تقریب جریان سیال، در هنگامی که بهره‌وری منابع در محدوده [۰.۵۵] باشد، تقریب بهتری ازانه می‌کند. این امر برای حالتی است که شرایط از لحاظ ظرفیت بافر، میانگین بازه انفجار و تعداد اتصالها یکسان باشد. هنگامی که بهره‌وری منبع در [۰.۵۵] قرار می‌گیرد، مشخص نیست که کدام یک تقریب بهتری ازانه کنند، در این حالت از ترکیبی از دو روش استفاده می‌شود. انتظار می‌رود که با ترکیب این دو روش تقریب رضایت‌بخشی بدست آید [۷].

اتوماتان ازانه شده به ازای مقادیر مختلف درصد فعالیت منابع  $T_{on} / (T_{on} + T_{off}) = r$  و مقادیر مختلف عمق اتوماتان ( $N$ ) شبیه‌سازی شد. برای این منظور میانگین طول ناحیه غیر فعال  $T_{off} = 1600 \text{ ms}$  ثابت بوده و میانگین طول ناحیه فعال از رابطه  $T_{on} = T_{off} \cdot r / (1 - r)$  بدست می‌آید. بین ۰.۱ تا ۰.۹ متفاوت است. دیگر پارامترهای شبیه‌سازی در بخش ۵ ذکر شده‌اند.

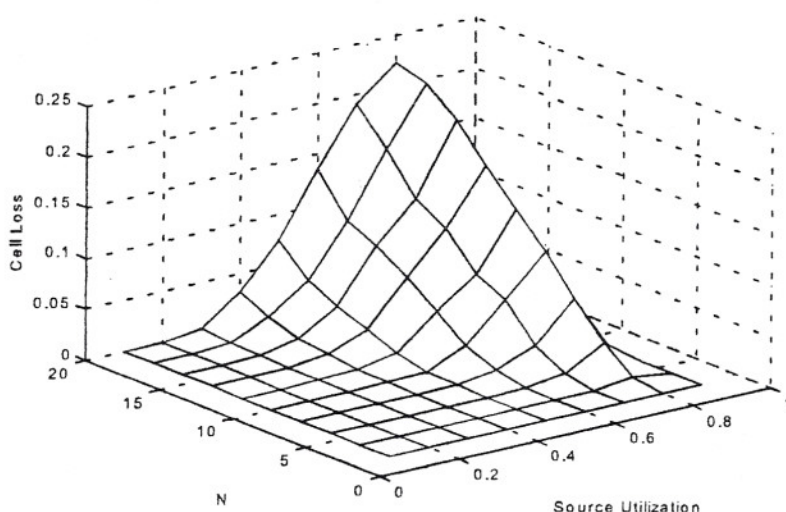
شکل ۳ نرخ اتلاف سلول را به ازای مقادیر مختلف عمق اتوماتان ( $N$ ) و میزان فعالیت منابع نشان می‌دهد. همانگونه که مشاهده می‌شود، به ازای مقادیر کم بهره‌وری منابع (درصد فعالیت منابع ۰.۲) در مقادیر بزرگ  $N$  نرخ اتلاف سلول از مقدار متناظر  $N$  که در آن نرخ اتلاف سلول از مقدار تعیین شده، فراتر می‌رود، کاهش می‌یابد. تا به ازای  $N = 2$  به ۰.۸ می‌رسد. این امر نشان دهنده آن است که تخمین روش پنهانی باند معادل با افزایش ۲ بهبود می‌یابد.

شکل ۴ مقدار بهره‌وری خط خروجی را به ازای مقادیر مختلف عمق اتوماتان ( $N$ ) و میزان فعالیت منابع نشان می‌دهد. همانطور که پیش‌بینی می‌شد، به ازای تعامی مقادیر بهره‌وری منابع با افزایش  $N$  بهره‌وری خط هم افزایش می‌یابد. به طوریکه به ازای مقادیر مشخصی از  $N$  نرخ اتلاف سلول مطابق شکل ۲ از حد تعیین شده فراتر می‌رود.

#### ۴-۲ دسته‌بندی منابع

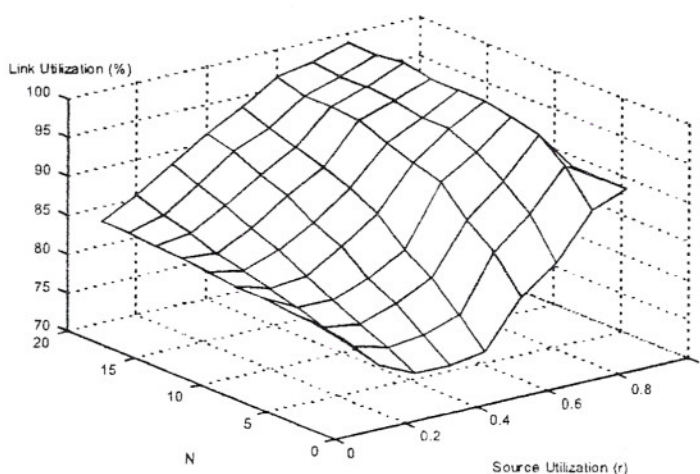
همانطور که در بخش قبل گفته شد، دقت روش پنهانی باند معادل بستگی زیادی به بهره‌وری منابع ( $r$ ) دارد. با توجه به نتایج شبیه‌سازی منابع را بر حسب نرخ بهره‌وری به پنج دسته تقسیم کرده و مقادیر زیر را برای پارامتر عمق  $N$  به طور جداگانه تعریف می‌کنیم:

<sup>1</sup> Dynamic Fixed Learning Automata



شکل ۳- نرخ اتلاف سلوول به ازای مقادیر مختلف درصد فعالیت منابع و عمق اتوماتان برای اتوماتان ارائه شده.

( $K=200$ ,  $\epsilon=10^{-4}$ ,  $T_{off}=1600$  ms)



شکل ۴- درصد بهره‌وری خط به ازای مقادیر مختلف درصد فعالیت منابع و عمق اتوماتان برای اتوماتان ارائه شده.

```

if  $\phi(t-1)=\phi_i$  and  $i > N(t)$ 
then  $\phi(t)=\phi_{N(t)}$ ;
else  $\phi(t)=\phi(t-1)$ ;

```

**Step 4:** Receive the feedback  $b(t) \in \{0,1\}$  from the environment.

**Step 5:** Change the automata state according to

$b(t)$ :  $\phi(t)=F(\phi(t-1), b(t))$ ;

and

Select an action  $a(t)=a_i$ .

**Step 6:** If  $a_i=0$ ,

then accept the request

else reject it.

اگر  $b(t), \phi(t)$  و  $N(t)$  به ترتیب حالت اتوماتان، پاسخ محیط و عمق اتوماتان در زمان  $t$  باشند، الگوریتم کنترل درخواست است: ورود به صورت زیر است:

**Initialization:** Set  $N=2$ , State  $\phi(0)=\phi_N$ .

**Step 1:** Classify new connection request according to its source utilization.

**Step 2:** Compute automata depth:

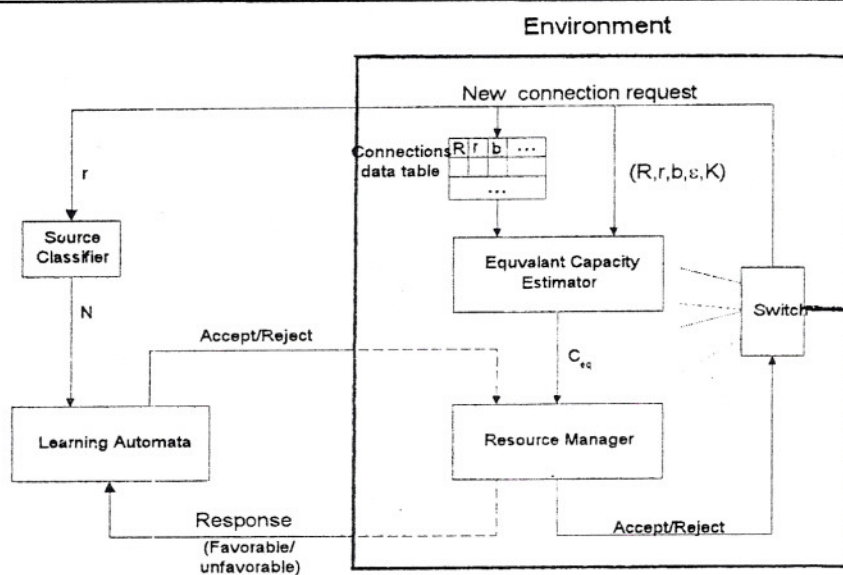
$$N(t) = \frac{k_1}{k} N_1 + \frac{k_2}{k} N_2 + \dots + \frac{k_n}{k} N_n$$

where  $k = \sum_{i=1}^n k_i$

**Step 3:** Reconstruct automata according to  $N(t)$ :

if  $\phi(t-1)=N(t-1)+1$

then  $\phi(t)=N(t)+1$



شکل ۵- کنترل درخواست ورود با استفاده از اتوماتان DFLA

ترافیکی تولید نمی‌کند. ترافیکی تولید کرده و در طول بازه  $T_{off}$  دارای توزیع نمایی با میانگین  $off$  و طول بازه‌های  $T_{on}$  دارای توزیع نمایی با میانگین  $on$  و طول بازه‌های  $T_{off}$  است که هر کدام  $200 = N_{max}$  است. تعداد متایع ترافیکی  $T_{off}$  ترافیک تولید می‌کند. میانگین طول  $on-off$  متابع به صورت  $\lambda$ ، متوسط زمان بین دو ناحیه انفجار  $T_{on} = 400 \text{ usec}$  تا  $T_{off} = 1600 \text{ usec}$  است.  $R=10 \text{ Mbit/s}$  و حداقل نرخ بیت  $20 \text{ ms} = 200 \text{ usec}$  از یک منبع ترافیکی در زمان بیکاری وارد می‌شوند.  $(1/\text{sec})$  از یک منبع ترافیکی در زمان اتصال هم دارای توزیع نمایی با میانگین  $C=150 \text{ Mbit/s}$  است. سویچ به یک خط با ظرفیت متصل شده است. سویچ به  $\alpha_0$  نشان دهنده قبول درخواست جدید و  $\alpha_1$  نشان دهنده رد درخواست است. این اتوماتان با هر کردن سلوها به خط خروجی با همان سرعت سویچ کردن برابر سرعت خط خروجی فرض می‌شود. طول هر یک از خطهای فرض می‌شود و سرعت خطهای فیزیکی برای  $Km$  اینزیکی انتقال سلوها برابر سرعت سور در نظر گرفته شده است. طول زمان اجرا برای الگوریتمهای مختلف برابر با  $40$  ثانیه قرار داده برای الگوریتم شبکه عصبی برابر (warmup) شد. زمان آمادگی با  $10$  ثانیه قرار داده شده است. برای دیگر الگوریتمها زمان آمادگی برابر با  $4$  ثانیه فرض شده است. علت اختلاف آن است که الگوریتم مبتنی بر شبکه‌های عصبی دیگر همگرا می‌شود. به علت لگاریتمی بودن نمودارهای نرخ اتلاف سلو، عدد صفر با چایگرین شده است.

### ۱-۵ CAC با استفاده از شبکه‌های عصبی

یکی دیگر از روش‌های کنترل درخواست ورود، استفاده از شبکه‌های عصبی است. در اینجا به منظور مقایسه الگوریتم

### ۵ مقایسه با روش‌های دیگر

در این بخش الگوریتم ارائه شده را با روش‌های مختلفی از جمله با روش پنهانی باند معادل [۳]، و روش مبتنی بر اتوماتان SELA یک روش مبتنی بر شبکه‌های عصبی مقایسه می‌شوند. در [۷] از اتوماتان یادگیر برای کنترل درخواست ورود استفاده شده است. در این روش از یک الگوریتم یادگیر تصادافی تخمین زنده است. این اتوماتان باز از این اتوماتان برای تصمیم‌گیری درباره پذیرش یا رد درخواست استفاده می‌شود. برای استفاده در کنترل درخواست ورود دو عمل  $\{\alpha_0, \alpha_1\}$  برای اتوماتان تعریف شده است که  $\alpha_0$  نشان دهنده قبول درخواست جدید و  $\alpha_1$  نشان دهنده رد درخواست است. این اتوماتان با هر درخواست جدید یکی از اعمال  $\alpha_0$  یا  $\alpha_1$  را انتخاب کرده و سپس با استفاده از تخمین پنهانی باند معادل پاسخ محیط را بدست آورده و بردار احتمالهای متناظر با اعمال  $\alpha_0, \alpha_1$  را بهنگام می‌کند. این روش و روشن پنهانی باند معادل در بخش ۳ شرح داده شده‌اند.

برای کنترل درخواست ورود از شبیه‌ساز شبکه ATM که توسط سازمان NIST تهیه شده است، استفاده شده است. در شبیه‌سازیهای انجام شده فرض می‌شود  $200$  منبع ترافیکی VBR به یک سویچ ATM متصل هستند. ترافیک ورودی همه این منابع باید در یک خط خروجی سویچ مالتی‌پلکس شده و به یک گره مقصص راهی شوند. هر یک از منابع در حالت بیکاری با نرخ  $\lambda$  تفاضای برقراری اتصال به سویچ می‌فرستند. در صورت برقراری اتصال، زمان اتصال دارای توزیع نمایی با میانگین  $h$  خواهد بود. ترافیک  $on-off$  یک از منابع هنگام اتصال به صورت تغییر  $off$  و تولید می‌کند. منع به طور متناسب بین حالتها  $R$  با حداقل نرخ بیت  $on$  و ضعیت می‌دهد. منع در طول بازه

در میان روش‌هایی که توانسته‌اند کیفیت مطلوب سرویس را تأمین نمایند، الگوریتم DFLA بیشترین نرخ بهره‌وری را دارد.

#### ۵-۳ مقایسه به ازای مقادیر مختلف ظرفیت بافر

در این حالت رفتار هر یک از روش‌های کنترل درخواست ورود در برابر مقادیر مختلف ظرفیت بافر بررسی می‌شود. اگر حداقل تأخیر قابل قبول برای سلولها  $T=20$  ms در نظر بگیریم، با توجه به رابطه  $K=TC/L$ ، حداقل طول بافر برابر  $K=7075$  سلول می‌شود که در اینجا برای ظرفیت بافر از  $100$  تا  $10000$  ms  $T_{off}=1.6$  ms و  $T_{on}=0.4$  ms شرایط شبیه‌سازی شده است. دیگر بارامترهای ثابتند، یعنی نرخ بهره‌وری منابع  $=0.2$  است. برای شبیه‌سازی از جمله نرخ تولید درخواست از منابع، میانگین زمان اتصال و حداقل نرخ انلاف سلول مطابق حالت قبل فرض شده‌اند.

همانگونه که شکل ۷-الف نشان می‌دهد، روش‌های مبتنی بر SELA و شبکه عصبی در بیشتر موارد توانسته‌اند حداقل نرخ انلاف سلول را رعایت نمایند و به جز در ظرفیتهای بالای بافر نرخ انلاف سلول بیش از  $10^{-4}$  شده است. برای روش‌های پهنای باند معادل و الگوریتم DFLA نرخ انلاف سلول کمتر از حد تعیین شده است. از همین رو این دو روش را از لحاظ بهره‌وری خط و تعداد درخواستهای پذیرفته شده مقایسه می‌کنیم. در شکل ۷-ب حداقل نرخ بهره‌وری روش مبتنی بر شبکه عصبی  $\approx 65\%$  به ازای ظرفیتهای بالای بافر شده است. در میان روش‌هایی که توانسته‌اند نرخ انلاف سلول را پایین‌تر از حد تعیین شده نگاه دارند، الگوریتم DFLA بیش از دیگر روش‌ها نرخ بهره‌وری، خط را بالا برده است. حتی به ازای ظرفیتهای بالای بافر توانسته است نرخ بهره‌وری را به  $\approx 99.5\%$  برساند.

#### ۴-۵ مقایسه در محیط‌های ناهمگن

در این بخش رفتار الگوریتم ارائه شده در شرایط دیگری از جمله در محیط‌های ناهمگن بررسی می‌شود. برای ایجاد محیط ناهمگن از دو روش استفاده شده است، در روش اول دو نوع منبع نرخ بیت متغیر وجود دارد و در روش دوم دو دسته منابع نرخ بیت ثابت و نرخ بیت متغیر فعالیت می‌کنند.

#### ۴-۶-۱ حالت اول: دو نوع منبع نرخ بیت متغیر

برای بررسی عملکرد الگوریتم در این حالت دو نوع منبع نرخ بیت متغیر در نظر گرفته شد، منابع نوع اول دارای درصد فعالیت  $R=0.2$  حداقل نرخ بیت  $T_{off}=1600$  ms می‌باشند. منابع نوع دوم هم دارای درصد فعالیت  $R=2$  حداقل نرخ بیت  $T_{off}=1600$  ms و میانگین زمان غیر فعال  $T_{on}=1600$  ms می‌باشند.

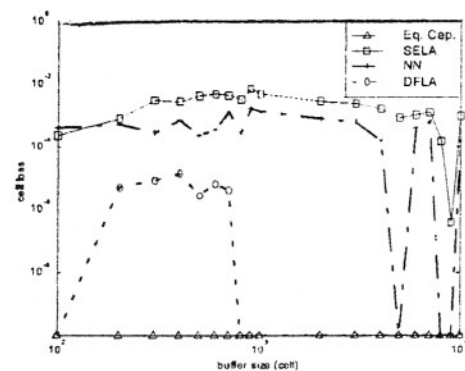
پیشنهادی، یک روش مبتنی بر شبکه‌های عصبی پیاده‌سازی شده است. در این روش منابع ترافیکی به تعداد مشخصی کلاس تقسیم می‌شوند. شبکه عصبی با دریافت بردار وضعیت شبکه قابل قبول با غیر قابل قبول بودن آن را در خروجی اعلام می‌دارد. وضعیت شبکه با بردار  $\{n_M, n_1, n_2, \dots, n_i, \dots\}$  مشخص می‌شود که  $n_i$  تعداد اتصالهای کلاس  $i$  است [۲۲]. در این روش از یک شبکه سلایه انتشار خطاب به عنوان برای پیاده‌سازی استناده شده است. برای جمع‌آوری نمونه‌های آمورشی، در ابتدا به تدریج تعداد هر یک از اتصالها را افزایش داده و نرخ اتلاف سلول متناظر را تعیین می‌کنیم. در صورتی که نرخ اتلاف سلول از حد مطلوب کمتر باشد، بردار وضعیت قابل پذیرش خواهد بود. در طول اجرا نیز به طور متناوب از شبکه نمونه‌برداری کرده و هر از چندگاهی شبکه دوباره آموزش می‌بیند.

#### ۴-۶-۲ مقایسه به ازای مقادیر مختلف نرخ بهره‌وری منابع

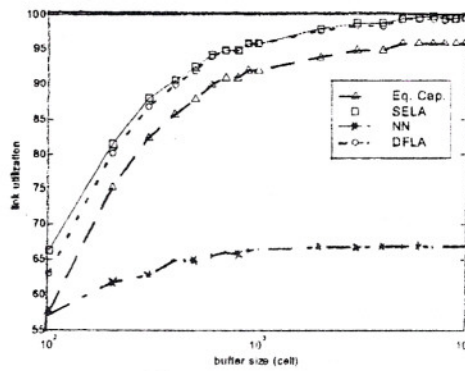
در این حالت به بررسی تأثیر میزان بهره‌وری منابع یعنی  $(T_{on} / (T_{on} + T_{off}))^r$  می‌پردازیم. برای این کار میانگین طول ناجه غیر فعال  $T_{off}=1.6$  ms ثابت بوده و میانگین طول ناجه انفجار  $T_{on}$  تغییر داده می‌شود. ظرفیت بافر سوئیچ برابر  $K=200$  سلول فرض می‌شود.

شکل ۶-الف نرخ انلاف سلول را برای روش‌های مختلف به ازای نرخ بهره‌وری منابع نشان می‌دهد. در این نمودار مشاهده می‌شود که الگوریتم DFLA به ازای تمامی مقادیر نرخ انلاف سلول را کمتر از مقدار تعیین شده حفظ کرده است. به عبارتی دیگر کیفیت سرویس مورد نظر تأمین شده است. در این شکل روش پهنای باند معادل انلاف سلول نداشته است. روش مبتنی بر شبکه‌های عصبی (NN) به ازای  $\geq 0.3$  توانسته است کیفیت سرویس را حفظ کند. این در حالی است که روش مبتنی بر SELA تنها به ازای  $\leq 0.2$  توانسته است که کیفیت سرویس را به نحو مطلوبی حفظ کند.

شکل ۶-ب نرخ بهره‌وری خط را برای الگوریتم‌های مختلف به ازای ظرفیت بافر سوئیچ نشان می‌دهد. در این نمودار الگوریتم SELA بیشترین نرخ بهره‌وری را دارد. البته این روش طبق شکل ۶-الف توانسته است حداقل نرخ انلاف سلول را رعایت کند و نرخ انلاف سلول آن به ویژه به ازای مقادیر بزرگ  $r$  بسیار زیاد است. در میان روش‌های دیگر روش مبتنی بر شبکه عصبی کمترین نرخ بهره‌وری را دارد. این روش حداقل توانسته است نرخ بهره‌وری خط را به  $\approx 63\%$  برساند. در حالی که دو روش دیگر یعنی DFLA و پهنای باند معادل نرخ بهره‌وری بالاتری را ارائه می‌دهند. همان گونه که مشاهده می‌شود الگوریتم DFLA نرخ بهره‌وری بالاتری را نسبت به روش پهنای باند معادل دارد. به ویژه برای مقادیر کوچکتر  $r$  این تفاوت زیادتر است. به طور کلی



الف- نرخ اتلاف سلول



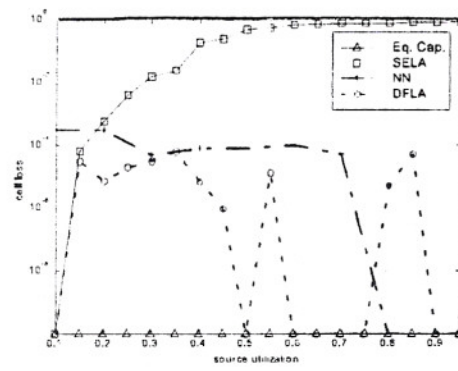
ب- درصد بهره‌وری خط

شکل ۷- نتایج شبیه‌سازی ازای طرفیت بافر (K) در مقایسه با روش‌های مختلف

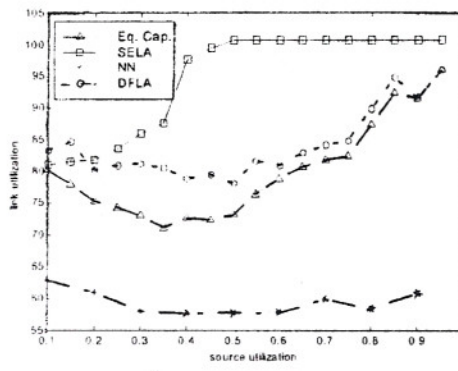
طرفیت معادل اتصالهای قبیلی و درخواست فعلی از طرفیت خط بیشتر نبود یعنی اگر  $C_{eq} + R \leq C$ ، اتصال برقرار می‌شود. برای تصمیم‌گیری درباره منابع VBR از همان اوتوماتان بسادگیر استفاده می‌شود.

برای شبیه‌سازی منابع نرخ بیت متغیر دارای درصد فعالیت  $\alpha=0.2$  حداقل نرخ بیت  $R=10$  Mbps و میانگین زمان غیر فعال  $T_{on}=1600$  ms می‌باشد. منابع نرخ بیت ثابت هم نرخ بیت ثابت  $R=2$  Mbps می‌باشد. در این صورت میانگین نرخ منابع VBR با نرخ بیت منابع CBR یکسان و برابر 2 Mbps خواهد بود. برای شبیه‌سازی تعداد دویست منبع مشکل از هر در نوع منبع در نظر گرفته شده و درصد منابع VBR از صفر تا صد درصد تغییر داده شد. در این حالت برای روشن مبنی بر شبکه عصبی، در ورودی برای شبکه عصبی در نظر گرفته شد، که هر یک تعداد بک نوع منبع VBR را نشان می‌دهد.

برای روش شبکه عصبی، منابع CBR به عنوان بکی از کلامها در نظر گرفته شد. شبکه عصبی دارای دو رودی است که بکی تعداد منابع CBR و دیگری تعداد منابع VBR است. به علت آنکه در الگوریتم مبتنی بر SELA نسخه تصمیم‌گیری درباره درخواستهای منابع CBR مشخص نشده بود، در این مقایسه از این روش استفاده نشده است.



الف- نرخ اتلاف سلول



ب- درصد بهره‌وری خط

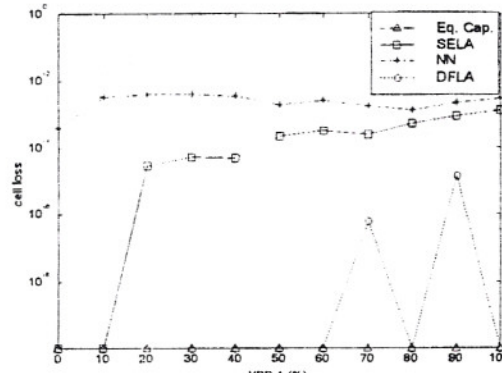
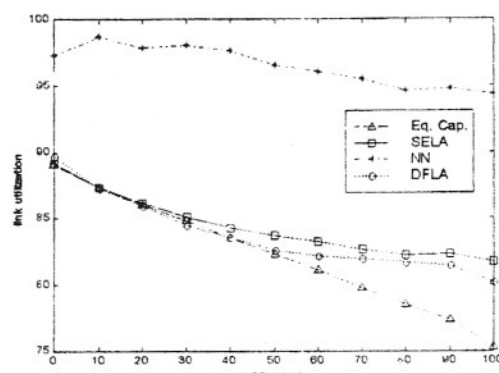
شکل ۶- نتایج شبیه‌سازی الگوریتم‌های مختلف کنترل درخواست ورود به ازای نرخ بهره‌وری منبع (۲)

برای شبیه‌سازی تعداد 200 منبع مشکل از هر دو نوع منبع در نظر گرفته شده و درصد منابع نوع اول از صفر تا صد درصد تغییر داده شد. در این حالت برای روشن مبنی بر شبکه عصبی، دو ورودی برای شبکه عصبی در نظر گرفته شد، که هر یک تعداد بک نوع منبع VBR را نشان می‌دهد.

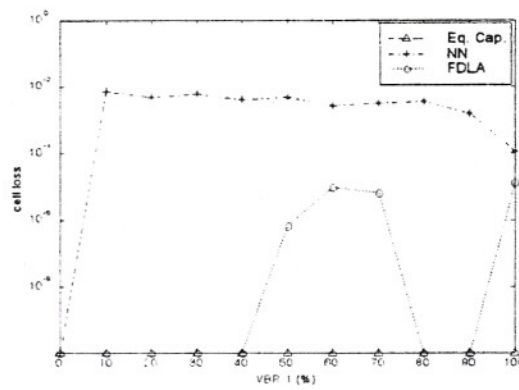
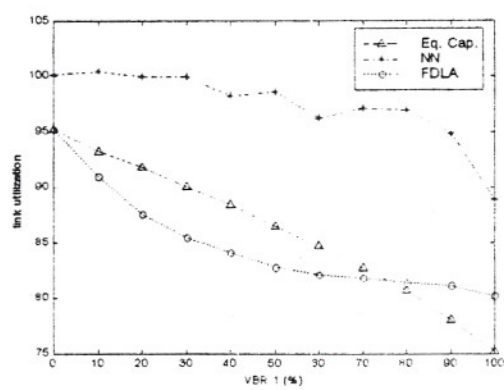
شکل ۸-الف نرخ اتلاف سلول را به ازای درصد های مختلف منبع نوع اول نشان می‌دهد. در این نسخه دارای روش شبکه عصبی و SELA در بیشتر نقاط نرخ اتلاف سلول بیش از حد تعیین شده (۱۰%) داشته‌اند. البته روشن SELA به ازای درصد منابع نوع اول کمتر از ۴۰% نرخ اتلاف سلول کمتری داشته است ولی با افزایش نسبت تعداد منابع نوع دوم نرخ اتلاف سلول هم افزایش یافته است. روش پهنه‌ای باند معادل سر بیشتر نقاط نرخ اتلاف سلول برابر صفر دارد. الگوریتم DFLA با توجه به نرخ اتلاف سلول آستانه یعنی ۱۰<sup>-4</sup> توانسته است کیفیت سرویس را تأمین نماید.

#### ۲-۵-۴: حالت دوم: منابع نرخ بیت متغیر و ثابت

نوع دیگری از محیط ناممکن تر کیب دو نوع منبع نرخ بیت متغیر و نرخ بیت ثابت است. در الگوریتم مورد نظر برای تصمیم‌گیری درباره پذیرش درخواستهای CBR مستقیماً از همان روش پهنه‌ای باند معادل استفاده می‌شود. بدین صورت که اگر



شکل ۸- نرخ اتلاف سلوول و درصد بهره‌وری خط الگوریتمهای CAC در محیط ناهمگن با دو نوع منبع VBR



شکل ۹- نرخ اتلاف سلوول و درصد بهره‌وری خط در محیط ناهمگن با دو نوع منبع CBR و VBR

زمان بادگیری سیستم را به خوبی کنترل نکنند. به عنوان مثال در روش مبتنی بر شبکه‌های عصبی، مشاهده شده که الگوریتم پس از حدوداً ۱۰ ثانیه همگرا می‌شود.

۲- عدم حساسیت به زمان مردگی: در بسیاری از الگوریتمهای بادگیر که از اندازه‌گیری واقعی شبکه برای گرفتن پاسخ یا خروجی صحیح استفاده می‌کنند، مشکل تأخیر در مشخص شدن پاسخ از طرف محیط وجود دارد. به عبارتی دیگر هنگامی که الگوریتم کنترلی تصمیم اتخاذ می‌کند، تا مشخص شدن تأثیر این تصمیم در سیستم مدت زمانی لازم است که به زمان مردگی مشهور است. ممکن است قبل از مشخص شدن نتیجه، درخواست دیگری وارد شود که در این صورت الگوریتم نمی‌تواند از نتیجه تصمیم قبلی برای این درخواست جدید استفاده کند. در این الگوریتم با استفاده از روش کارای پهنانی باند معادل به عنوان پاسخ سیستم، این مشکل برطرف شده است.

۳- بی‌درنگ بودن: اتوماتان تنها با یک تغییر وضعیت، با توجه به وضعیت جدید تصمیم‌گیری می‌کنند. برای تغییر وضعیت تنها محاسبه N و پاسخ پهنانی باند معادل لازم است.

## ۶ خلاصه

از آنجا که تخمین پهنانی باند معادل در شرایط مختلف دقت‌های

شکل ۹ نتایج شبیه‌سازی را نشان می‌دهند. روش شبکه عصبی نتوانسته است حداقل نرخ اتلاف سلوول را رعایت کند. دو روش دیگر یعنی پهنانی باند معادل و الگوریتم DFLA کیفیت سرویس را تأمین کرده‌اند. در نمودار بهره‌وری خط با کاهش تعداد منابع VBR و همزمان افزایش تعداد منابع CBR نرخ بهره‌وری خط افزایش می‌یابد. علت این امر هم آن است که به علت ثابت بودن نرخ بیت منابع CBR می‌توان پهنانی باند را با تعدادی منبع CBR اشباع نموده بدون آنکه اتلاف سلوول داشته باشیم. در واقع برای منابع CBR نسبت افجخار(Burstiness) حداقل و برابر یک است.

## ۵-۵ مقایسه از جنبه‌های دیگر

همانطور که مشاهده شد، در بسیاری از حالتها الگوریتم ارانه شده از روش‌های دیگر بهتر عمل می‌کند. به ویژه در مقایسه با روش پهنانی باند معادل که طبق بررسیهای انجام شده از روش‌های دیگر کارآتر است، با حفظ کیفیت سرویس بهره‌وری بالاتری داشته است. علاوه بر این مزایا، مزایای دیگری نیز می‌توان برای الگوریتم جدید CAC ذکر کرد:

۱- همگرایی سریع با توجه به عمل مطلوب بدون داشتن سربار اضافی برای بادگیری: دیگر الگوریتمهای بادگیری ممکن است زمان طولانی برای بادگیری نیاز داشته باشند و در طی این

- [10]. A. T. Burrel, P. Papantoni-Kazakos, "Real Time Learning and Traffic Monitoring for the Traffic Management of ATM Networks", International Conference on Telecommunications, Jun. 1998, Vol. 2, pp. 21-25.
- [11]. P. Mars, J. R. Chen, R. Nambiar, "Learning Algorithms, Theory and Applications in Signal Processing, Control and Communications", CRC Press, 1996.
- [12]. K. S. Narendra and M. A. L. Thathachar, "Learning Automata: An Introduction", Prentice-Hall, Englewood cliffs, 1989.
- [13]. A. V. Vasilakos, S. A. Koubias, "On Routing and Performance Comparison of Techniques for Packet-Switched Networks Using Learning Automata", IEEE Int. Symposium on Circuits and Systems 1988, pp. 109-113.
- [14]. P. Mars, K. S. Narendra. "Routing, Flow Control and Learning Algorithms", In Proc. 1st IEE Int. Conf. on Communication Networks, 1987.
- [15]. A. V. Vasilakos and A. F. Atassis, "LB-SELA: Rate based Access Control for ATM Networks", In Proc. IEEE INFOCOM'94, 1994, pp. 1552-1559.
- [16]. M. R. Meybodi and S. Lakshminarhan, "A Learning Approach to Assignment in a Two class M/M/1 Queuing System with Unknown Parameters", Proc. of Third Yale Workshop on Applications of Adaptive Systems Theory, Yale University, pp. 106-109, 1983.
- [17]. M. R. Meybodi and H. Beigy, "Neural Network Engineering Using Learning Automata: Determination of Desired Size for Three Layer Feed-forward Neural Networks", Proc of 5th Annual Int. Computer Society of Iran Computer Conf. CSICC'2000, Tehran, Iran.
- [18]. P. Bahir and M. R. Meybodi, "A Method for Adaptation of Vigilance Factor and Choice Parameter in Fuzzy ART Systems", Proc. of 7th Iranian Conf. on Electrical Engineering, ICEE'99, Tehran, Iran, Vol. 3, pp. 12-27.
- [19]. H. Beigy and M. R. Meybodi, "Graph Isomorphism Using Learning Automata", Proc of 5th Annual Int. Computer Society of Iran Computer Conf. CSICC'2000, Tehran, Iran, (to appear).
- [20]. K. S. Narendra and M. A. L. Thathachar, "Learning Automata: An Introduction", Prentice-Hall, Englewood cliffs, 1989.
- [21]. M. R. Meybodi and S. Lakshminarhan, "Optimality of a General Class of Learning Algorithms", Information Science, Vol. 28, pp. 1-20, 1982.
- [22]. P. Tran-Gia and O. Groppe, "Performance of Neural Net used as Admission Controller in ATM Systems", IEEE GLOBECOM'92, 1992, pp. 1303-1309.

متفاوتی دارد، به علت غیر استabilitate بودن محیط، در شرایط مختلف اتوماتان پارامترهای مختلفی خواهد داشت. در این مقاله به این موضوع پرداخته شده و پارامتر اتوماتان (عمق) را در شرایط مختلف تعیین شد. در این مقاله یک الگوریتم CAC ارائه شد. در این الگوریتم هر درخواست ورود بر حسب بهره‌وری منبع گروه‌بندی شده و طبق آن عمق اتوماتان تعیین می‌شود. در ادامه الگوریتم ارائه شده در با دیگر روش‌های CAC مقایسه شد. از جمله این روش‌ها، روش کارای پهنای باند معادل الگوریتم CAC مبتنی بر اتوماتان SELA هستند. نتایج نشان می‌دهند که الگوریتم ارائه شده از دیگر روش‌ها حتی از روش کارای پهنای باند معادل بهتر عمل کرده است.

## مراجع

- [1]. ITU-T, "Broadband Aspects of ISDN ITU-T Recommendation I.121", 1991.
- [2]. H. G. Perros, K. M. Elsayed, "Call Admission Control Schemes: A Review", IEEE Commun. Magazine, Nov. 1996, pp. 82-91.
- [3]. R. Guerin, H. Ahmadi, M. Naghshineh, "Equivalent Capacity and Its Application to Bandwidth Allocation in High-Speed Networks", IEEE JSAC, Vol. 9, 1991, pp. 968-81.
- [4]. K. Sohraby, "On the Asymptotic Behavior of Heterogeneous Statistical Multiplexer With Applications", Proc. INFOCOM'92, pp. 839-47.
- [5]. R.-G Cheng, C.-J. Chang, "Neural-Network Connection-Admission Control for ATM Networks", IEE Proc. Commun. Vol. 144, No. 2, April 1997, pp. 93-98.
- [6]. Chang-Ju Chang, Ray-Guang Cheng, "Traffic Control in an ATM Network Using Fuzzy Set Theory", Proceedings IEEE INFOCOM, Vol. 3, 1994.
- [7]. A. V. Vasilakos, N. H. Loukas and A. F. Atassis, "The Use of Learning Algorithms in ATM Networks Call Admission Control Problem: A Methodology", Proc. IEEE Local Computer Networks, 1995, pp. 407-412.
- [8]. حمید رضا شهریاری و محمد رضا میدی, "کنترل درخواست ورود در شبکه‌های ATM با استفاده از اتوماتنهای یادگیر با ساختار متغیر", هشتمین کنفرانس مهندسی برق، ایران، اصفهان، ۱۳۷۹، دانشگاه صنعتی اصفهان، مجموعه مقالات، جلد ۴، ص ۱۶۵-۱۷۲.
- [9]. حمید رضا شهریاری و محمد رضا میدی, "کنترل درخواست ورود در شبکه‌های ATM با استفاده از اتوماتنهای یادگیر بر اساس پاسخ پهنای باند معادل", هشتمین کنفرانس سالانه انجمن کامپیوتر ایران (CSICC'2001)، دانشگاه صنعتی اصفهان، اسفند ۱۳۷۹.